

Mechanistische Studien zum Abbau von Aceton in der wässrigen Phase

J. Schindelka, D. Hoffmann und H. Herrmann

Leibniz-Institut für Troposphärenforschung, Permoserstr. 15, D-04318 Leipzig, Germany

schindelka@tropos.de

Motivation

- Aceton ist eine der häufigsten Verbindungen in der Troposphäre ($c = 0,2\text{--}3 \text{ ppbv}$) [1]
- Die Photolyse in der oberen Troposphäre kann zur Bildung von HO_x und PAN (Peroxyacetyl nitrat) beitragen
- Reaktionen mit OH-Radikalen in der wässrigen Phase führen zur Bildung von semi-volatilen Verbindungen
- Es dient somit als Vorläuferverbindung zur Entstehung von klimarelevantem SOA (sekundäres organisches Aerosol)
- Der Phasentransfer und die Prozesse in der wässrigen Phasen werden aber nicht vollständig verstanden
- Eine erhöhte Aufnahme in die wässrige Phase könnte sich auf das HO_x -Budget in der Gasphase auswirken
- Die Ergebnisse der bisherigen Studien [2], [3], [4] und [5] zum Abbau von Aceton in der wässrigen Phase sind in Abbildung 1 gezeigt
- Teilweise große Unterschiede zwischen den Studien sind die Motivation des oxidativen Abbaus hinsichtlich seiner Produkte quantitativ und qualitativ zu untersuchen

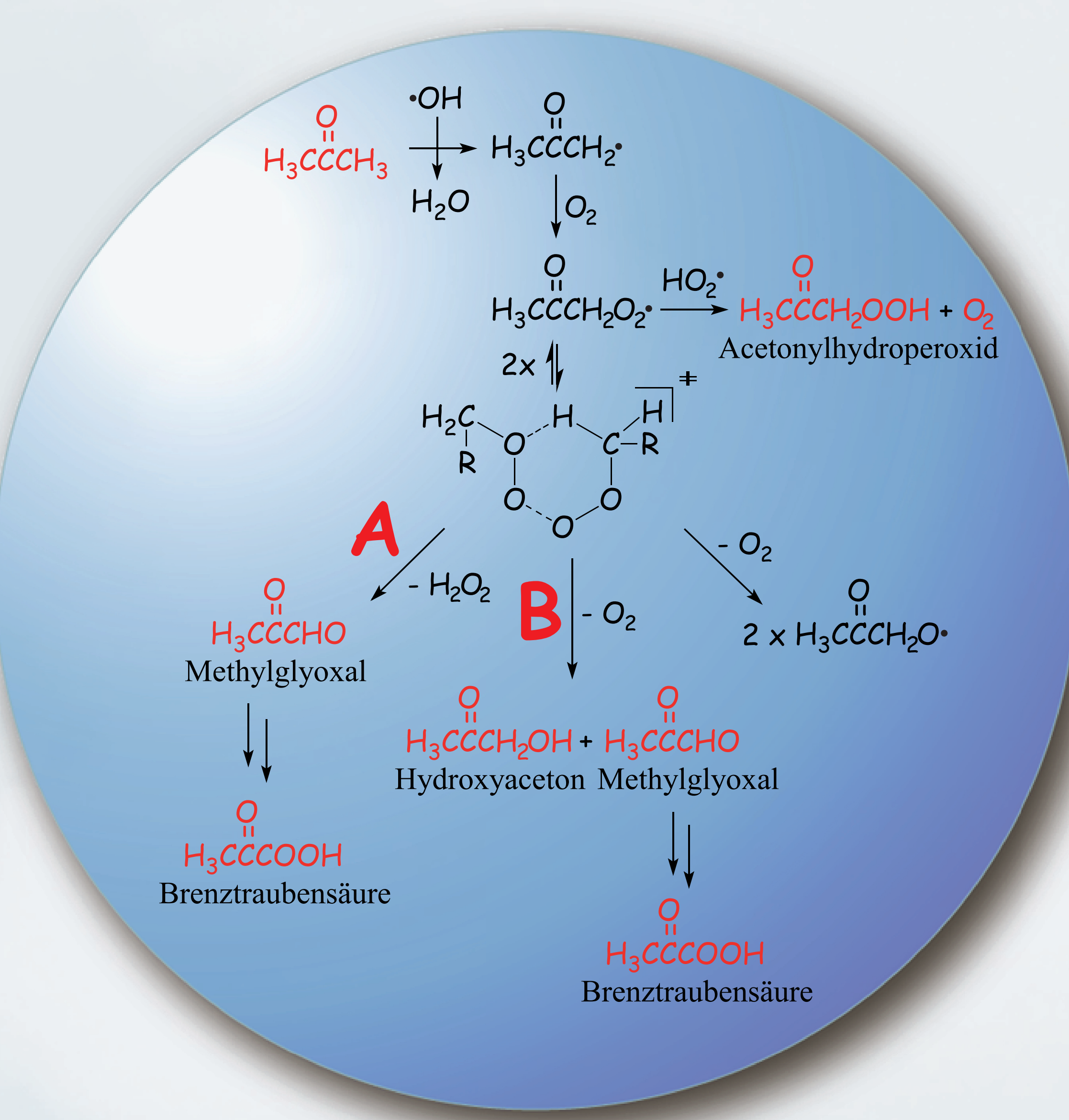


Abbildung 1: Reaktionsschema (basierend auf [2], [3], [4] und [5])

Ergebnisse

a) Optimierung der Anfangskonzentration

- Die Konzentration der OH-Radikale wurde für verschiedene Ausgangskonzentrationen von Wasserstoffperoxid mit folgender Gleichung berechnet:

$$[\text{OH}] = \frac{E_{\text{Laser}} \lambda_{\text{Laser}} \phi}{hcV N_A} (1 - 10^{[(\varepsilon_{\text{H}_2\text{O}_2} c_{\text{H}_2\text{O}_2} + \varepsilon_{\text{Aceton}} c_{\text{Aceton}})d]})$$

- Mit Hilfe des Programms GePaSi wurde simuliert, welcher Anteil der OH-Radikale mit Aceton reagiert (siehe Tabelle 1)
- Dafür wurde folgendes kinetisches Modell genutzt:

$\text{OH} + \text{OH} \rightarrow \text{H}_2\text{O}_2$	$k_{2\text{nd}} = 1,0 \cdot 10^{10} \text{ l} \cdot \text{mol}^{-1} \cdot \text{s}^{-1}$ (R-1)
$\text{OH} + \text{H}_2\text{O}_2 \rightarrow \text{HO}_2 + \text{H}_2\text{O}$	$k_{2\text{nd}} = 2,7 \cdot 10^7 \text{ l} \cdot \text{mol}^{-1} \cdot \text{s}^{-1}$ (R-2)
$\text{OH} + \text{Aceton} \rightarrow \text{Acetonyl} + \text{H}_2\text{O}$	$k_{2\text{nd}} = 1,5 \cdot 10^8 \text{ l} \cdot \text{mol}^{-1} \cdot \text{s}^{-1}$ (R-3)

Tabelle 1: Anfangskonzentration von Wasserstoffperoxid und Konzentration der entstehenden OH-Radikale, sowie Anteile der ablaufenden Reaktionen

$[\text{H}_2\text{O}_2]_0$ in mol/l	$[\text{OH}]$ in mol/l	(R-1) in %	(R-2) in %	(R-3) in %
$1 \cdot 10^{-2}$	$8,3 \cdot 10^{-5}$	33	30	1,7
$1 \cdot 10^{-3}$	$7,5 \cdot 10^{-6}$	29	27	15
$1 \cdot 10^{-4}$	$5,2 \cdot 10^{-7}$	11	12	67

- Das Verhältnis der Konzentrationen von Wasserstoffperoxid zu Aceton ist zu verringern, um den Anteil der OH-Radikale, die mit Aceton reagieren, zu erhöhen
- Für einen noch nachweisbaren Umsatz von Aceton wurde Wasserstoffperoxid mit einer Konzentration von 1 mmol/l eingesetzt

b) Ergebnisse der Laserphotolyse-Experimente

- 3 Messreihen zum Abbau von Aceton und Bildung seiner Produkte in Abhängigkeit von der Laserpulszahl wurden durchgeführt
- Ein deutlicher Abfall der Konzentration von Aceton ist erst ab 20 Laserpulsen nachzuweisen
- Nachgewiesen wurden: Methylglyoxal und Hydroxyacetone als primäre Produkte, Brenztrauben- und Essigsäure sind Folgeprodukte, Glykol- und Oxalsäure sind "späte" Produkte

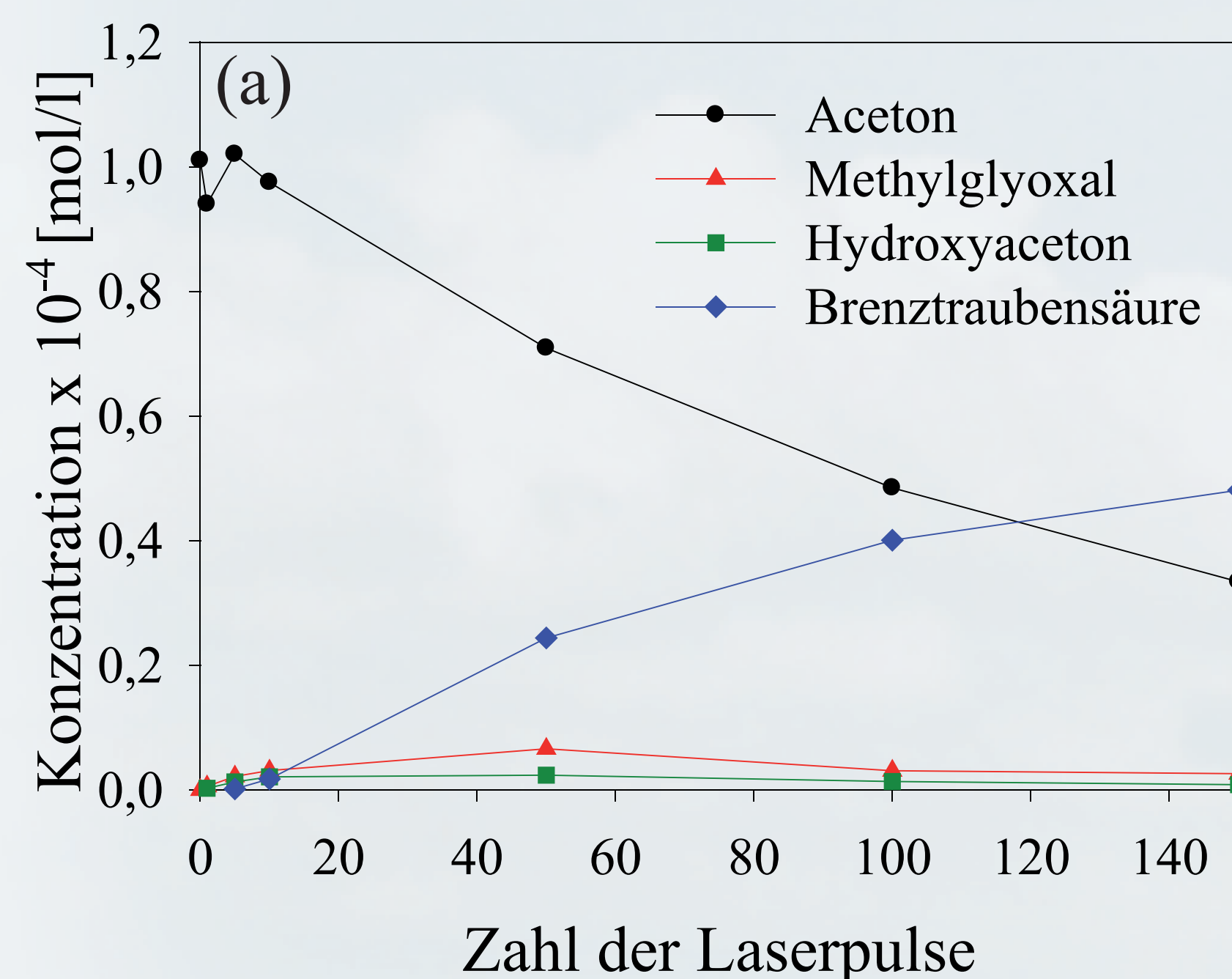


Abbildung 3: Konzentrationsverläufe von Aceton und seinen Oxidationsprodukten in Abhängigkeit von der Zahl der Laserpulse: (a) als DNPH-Derivat mit HPLC-MS nachgewiesen und (b) die mit CE-UV gemessenen Säuren

Experimentelles

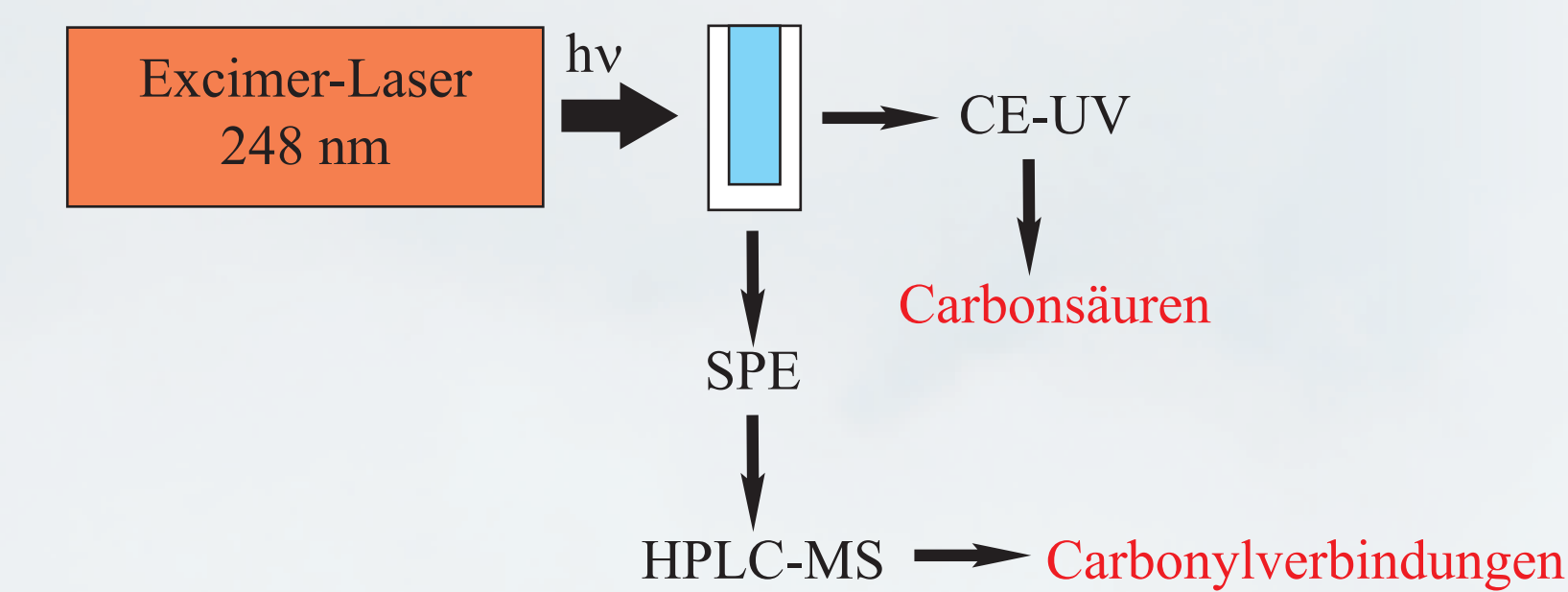


Abbildung 2: Schema der Versuchsdurchführung

a) Laserphotolyse

- OH-Radikale wurden durch Laserphotolyse von Wasserstoffperoxid (1 mmol/l) erzeugt
- Excimer-Laser, KrF ($\lambda = 248 \text{ nm}$)
- Aceton-Konzentration betrug 0,1 mmol/l

b) Analyse Carbonylverbindungen

- Derivatisierung der Carbonylverbindungen mit 2,4-DNPH
- SPE mit Oasis HLB cartridge (3cc/60 mg, 30 μm)
- Aufgabe: 2 ml Probe, Elution: 1,25 ml Acetonitril
- HPLC-MS-System Ultimate 3000, Dionex
- C-Phenyl-Säule (Phenomenex Gemini 5u, 150 x 2 mm, Partikeldurchmesser = 5 μm)
- Eluenten: Wasser und Acetonitril + je 0,2 % Essigsäure
- Detektion: ESI-MS mit Single-Quadrupol-Analysator im negativen Modus

c) Analyse Carbonsäuren

- CE-UV Spectra Phoresis 1000, Thermo Separation Products mit Quarzkapillare
- Hintergrundelektrolyt: wässrige Lösung von 10 mmol/l p-Aminobenzoësäure, 8 mmol/l Diethylentriamin, 3,5 mmol/l Natronlauge und 1 % (v/v) Methanol [6]
- Spannung: -29,4 kV
- Detektion: indirekt, $\lambda = 254 \text{ nm}$

d) Verzweigungsverhältnis von Pfad A und B

- Zum Vergleich wurde das Verhältnis der beiden Pfade A und B (Abbildung 1) berechnet
- Das Verhältnis wurde aus den Anstiegen der Konzentrationen von Methylglyoxal und Hydroxyacetone bei 1-5 Laserpulsen bestimmt
- Wie Tabelle 2 zeigt, ist das Ergebnis dieser Arbeit konsistent mit dem von Stefan und Bolton [4]
- Das Tetroxid zerfällt bevorzugt unter der Bildung von Methylglyoxal und Hydroxyacetone (Zerfallsreaktion B)

Tabelle 2: Beiträge der Zerfallsreaktionen A und B aus Abbildung 1 zur Konzentration an Methylglyoxal

Referenz	A in %	B in %
[2]	69	31
[4]	29	71
[5]	64	36
diese Arbeit	37	63

Zusammenfassung

- Es wurde der Abbau von Aceton mit OH-Radikalen in wässriger Lösung untersucht
- Der Anteil der OH-Radikale die mit Aceton reagieren hängt vom Verhältnis der Anfangskonzentrationen von Wasserstoffperoxid zu Aceton ab
- Aus Konzentrationsverläufen von Aceton und seinen Produkten (abhängig von der Laserpulszahl) wurde ein Reaktionsschema erstellt
- Mit Geschwindigkeitskonstanten, u.a. zur Rekombination von Peroxyl-Radikalen, könnten die Ergebnisse in atmosphärischen Modellen implementiert werden

Referenzen

- [1] Singh, H. B., et al. (1994), Journal of Geophysical Research-Atmospheres, 99, 1805-1819
- [2] Zegota, H., et al. (1986), Zeitschrift für Naturforschung Section B-a Journal of Chemical Sciences, 41, 1015-1022
- [3] Stefan, M. I., et al. (1996), Environmental Science & Technology, 30, 2382-2390
- [4] Stefan, M. I., and J. R. Bolton (1999), Environmental Science & Technology, 33, 870-873
- [5] Pouain, L., et al. (2010), Chemosphere, 81, 312-320
- [6] Neuß, C., et al. (2000), Journal of Geophysical Research-Atmospheres, 105, 4513-4527
- [7] von Sonntag, C., and H. P. Schuchmann (1991), Angewandte Chemie-International Edition in English, 30, 1229-1253

Danksagung

Das Projekt ACETOX (HE 3086/8-1) wird unterstützt von der Deutschen Forschungsgemeinschaft DFG.

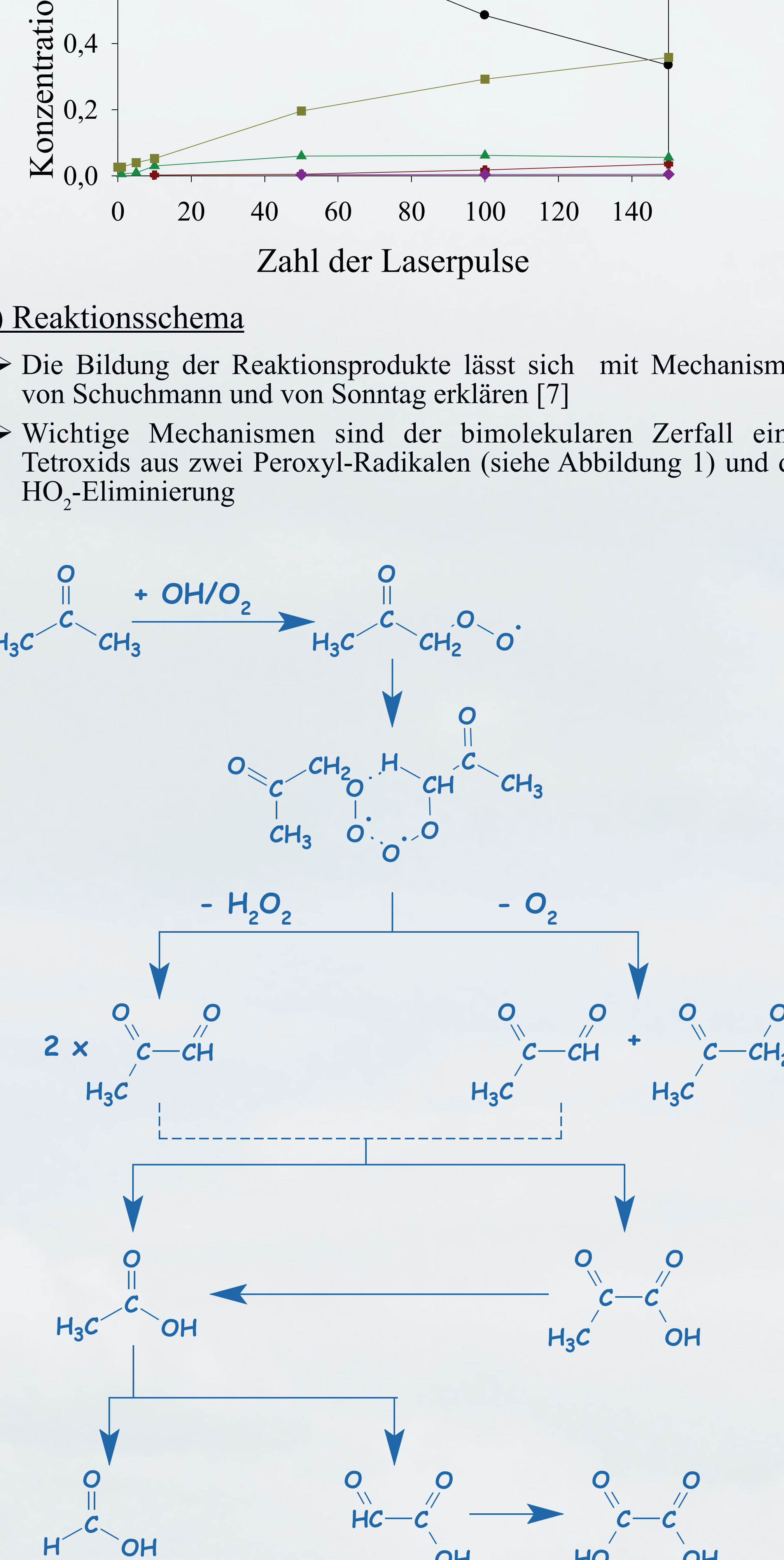


Abbildung 4: Anhand der Messergebnisse und Reaktionsmechanismen von Schuchmann und von Sonntag aufgestelltes Reaktionsschema [7]